

β -Nb₉VO₂₅

Rawia Nasri, Saïda Fatma Chérif,* Mohamed Faouzi Zid and Ahmed Driss

Laboratoire de Matériaux et Cristallochimie, Faculté des Sciences de Tunis,
Université de Tunis El Manar, 2092 El Manar Tunis, Tunisia
Correspondence e-mail: c.fatouma@yahoo.fr

Received 15 March 2014; accepted 8 April 2014

Key indicators: single-crystal X-ray study; $T = 298$ K; mean $\sigma(\text{Nb}–\text{O}) = 0.006$ Å;
disorder in main residue; R factor = 0.034; wR factor = 0.086; data-to-parameter ratio = 10.6.

The title compound, nonaniobium vanadium pentacosaoxide, was prepared by a solid-state reaction at 1198 K. It is isotypic with Nb₉AsO₂₅, Nb₉PO₂₅ and Ta₉VO₂₅. The structure consists of NbO₆ octahedra (one with $4/m..$ and two with $m..$ symmetry) and VO₄ tetrahedra ($\bar{4}..$ symmetry) sharing corners and edges to form a three-dimensional framework. This framework can be considered as a junction between ribbons made up from NbO₆ octahedra and chains of NbO₆ octahedra and chains of VO₄ tetrahedra. The V site shows half-occupancy, hence one half of the VO₄ tetrahedra is unoccupied. The structural differences with α -Nb₉VO₂₅, VOSO₄, SbOPO₄ and NbOPO₄ oxides are discussed.

Related literature

For isotypic compounds, see: Ulutagay *et al.* (1998); Roth *et al.* (1965); Casais *et al.* (1993). For physical properties, see: Prabaharan *et al.* (1997); Aranda *et al.* (1992); Bergner *et al.* (2009). For details of structurally related compounds, see: Haddad & Jouini (1996, 1997); Zid *et al.* (1992); Casais *et al.* (1993); Chérif *et al.* (2011); Roth *et al.* (1965); Köhler *et al.* (1989); Piffard *et al.* (1986); Longo & Arnott (1970); Tachez *et al.* (1981); Amos *et al.* (1998). For details of bond-valence calculations, see: Brown & Altermatt (1985).

Experimental

Crystal data

Nb₉VO₂₅

$M_r = 1287.13$

Tetragonal, $I4/m$
 $a = 15.7726$ (9) Å
 $c = 3.8399$ (6) Å
 $V = 955.27$ (17) Å³
 $Z = 2$

Mo $K\alpha$ radiation
 $\mu = 5.78$ mm⁻¹
 $T = 298$ K
 $0.14 \times 0.05 \times 0.04$ mm

Data collection

Enraf–Nonius CAD-4 diffractometer
Absorption correction: ψ scan (North *et al.*, 1968)
 $T_{\min} = 0.695$, $T_{\max} = 0.812$
851 measured reflections

593 independent reflections
363 reflections with $I > 2\sigma(I)$
 $R_{\text{int}} = 0.044$
2 standard reflections every 120 min
intensity decay: 1.1%

Refinement

$R[F^2 > 2\sigma(F^2)] = 0.034$
 $wR(F^2) = 0.086$
 $S = 0.99$
593 reflections

56 parameters
 $\Delta\rho_{\max} = 1.15$ e Å⁻³
 $\Delta\rho_{\min} = -1.52$ e Å⁻³

Data collection: *CAD-4 EXPRESS* (Duisenberg, 1992; Macíček & Yordanov, 1992); cell refinement: *CAD-4 EXPRESS*; data reduction: *XCAD4* (Harms & Wocadlo, 1995); program(s) used to solve structure: *SHELXS97* (Sheldrick, 2008); program(s) used to refine structure: *SHELXL97* (Sheldrick, 2008); molecular graphics: *DIAMOND* (Brandenburg & Putz, 1999); software used to prepare material for publication: *WinGX* (Farrugia, 2012).

- Amos, T. G., Yokochi, A. & Sleight, A. W. (1998). *J. Solid State Chem.* **14**, 303–307.
Aranda, M. A. G., Attfield, J. P., Bruque, S. B. & Martinez-Lara, M. (1992). *Inorg. Chem.* **31**, 1045–1049.
Bergner, C., Vashook, V., Leoni, S. & Langbein, H. (2009). *J. Solid State Chem.* **182**, 2053–2060.
Brandenburg, K. & Putz, H. (1999). *DIAMOND*. Crystal Impact GbR, Bonn, Germany.
Brown, I. D. & Altermatt, D. (1985). *Acta Cryst.* **B41**, 244–247.
Casais, M. T., Gutiérrez Puebla, E., Monge, M. A., Rasines, I. & Ruiz Valero, C. (1993). *J. Solid State Chem.* **102**, 261–266.
Chérif, S. F., Zid, M. F. & Driss, A. (2011). *Acta Cryst.* **E67**, i10.
Duisenberg, A. J. M. (1992). *J. Appl. Cryst.* **25**, 92–96.
Farrugia, L. J. (2012). *J. Appl. Cryst.* **45**, 849–854.
Haddad, A. & Jouini, T. (1996). *J. Solid State Chem.* **124**, 244–249.
Haddad, A. & Jouini, T. (1997). *J. Solid State Chem.* **134**, 10–16.
Harms, K. & Wocadlo, S. (1995). *XCAD4*. University of Marburg, Germany.
Köhler, J., Miller, G. & Simon, A. (1989). *Z. Anorg. Allg. Chem.* **568**, 8–21.
Longo, J. M. & Arnott, R. J. (1970). *J. Solid State Chem.* **1**, 394–398.
Macíček, J. & Yordanov, A. (1992). *J. Appl. Cryst.* **25**, 73–80.
North, A. C. T., Phillips, D. C. & Mathews, F. S. (1968). *Acta Cryst.* **A24**, 351–359.
Piffard, Y., Oyetola, S., Verbaere, A. & Tournoux, M. (1986). *J. Solid State Chem.* **63**, 81–85.
Prabaharan, S. R. S., Michael, M. S., Radhakrishna, S. & Julien, C. (1997). *J. Mater. Chem.* **7**, 1791–1796.
Roth, R. S., Wadsley, A. D. & Andersson, S. (1965). *Acta Cryst.* **18**, 643–647.
Sheldrick, G. M. (2008). *Acta Cryst.* **A64**, 112–122.
Tachez, M., Theobald, F. & Bordés, E. (1981). *J. Solid State Chem.* **40**, 280–283.
Ulutagay, M., Schimek, G. L. & Hwu, S.-J. (1998). *Acta Cryst.* **C54**, 898–900.
Zid, M. F., Jouini, T. & Piffard, Y. (1992). *J. Solid State Chem.* **99**, 201–206.

supporting information

Acta Cryst. (2014). **E70**, i20 [doi:10.1107/S1600536814007831]

β -Nb₉VO₂₅

Rawia Nasri, Saïda Fatma Chérif, Mohamed Faouzi Zid and Ahmed Driss

S1. Comment

Les composés à structure ouverte formés d'octaèdres et de tétraèdres constituent un vaste domaine de recherche ces dernières années. En relation avec leurs structures, ces matériaux présentent des propriétés intéressantes tels que la conductivité ionique (Prabaharan *et al.*, 1997), échange d'ions (Aranda *et al.*, 1992), ou bien elles sont utilisés en catalyse hétérogène (Bergner *et al.*, 2009). Dans ce contexte, nous avons tenté d'explorer les systèmes *A*–Nb–V–O (*A* = cation monovalent) par réaction à l'état solide. L'investigation de ces derniers a permis d'isoler les formes suivantes:

NaNb_{6.15}V_{0.94}O₁₄ (Koehler *et al.*, 1989), K₃Nb₆VO₁₉ (Haddad & Jouini, 1996), Rb₅VONb₁₄O₃₈ (Haddad & Jouini, 1997).

Un cristal de forme allongé a été choisi sous microscope polarisant, et s'est avéré après étude structurale d'être le composé binaire Nb₉VO₂₅. L'unité asymétrique est constituée par un arrangement de trois octaèdres NbO₆ et d'un tétraèdre VO₄ liés entre eux au moyen de sommets, formant ainsi le groupement Nb₃VO₁₉ (Fig. 1). Dans la charpente oxygénée, les octaèdres Nb₁O₆ forment par partage de sommets des chaînes de type Nb₁O₅ (Fig. 2a) et les tétraèdres VO₄ forment par mise en commun d'arêtes des chaînes de type VO₂ (Fig. 2b). Par contre, les octaèdres Nb₂O₆ et Nb₃O₆ se lient d'une part par mise en commun de sommets pour former des chaînes classiques NbO₅ et d'autre part ces dernières se regroupent par partage d'arêtes pour conduire à des chaînes doubles (Fig. 3a), qui par formation de ponts simples Nb₂—O—Nb₃, et en se regroupant par paires mènent à des rubans (Fig. 3 b). La jonction de ces derniers par mise en commun de sommets avec les chaînes formées par les octaèdres Nb₁O₆ conduit à une charpente octaédrique. La charpente tridimensionnelle de Nb₉VO₂₅ est donc la conséquence d'une jonction entre ces rubans et les chaînes octaédriques Nb₁O₅ et tétraédriques VO₂ (Fig. 4). Les atomes de niobium et de vanadium forment avec les atomes d'oxygène des liaisons Nb—O et V—O conformes à celles rencontrées dans la littérature (Zid *et al.*, 1992; Casais *et al.*, 1993; Haddad & Jouini, 1996; Chérif *et al.*, 2011).

Le calcul des différentes valences des liaisons (BVS), utilisant la formule empirique de Brown (Brown & Altermatt, 1985), conduit aux valeurs des charges des ions: Nb1(4.944), Nb2(4.897), Nb3(4.928), V1(5.074), en bon accord avec les degrés d'oxydation attendus.

La comparaison de notre structure avec celles des oxydes analogues, montre qu'elle est isotype à: Nb₉PO₂₅ (Roth *et al.*, 1965), Ta₉VO₂₅ (Casais *et al.*, 1993) et Nb₉AsO₂₅ (Ulutagay *et al.*, 1998). Le composé étudié Nb₉VO₂₅ (forme β) cristallise dans le système quadratique, groupe d'espace centrosymétrique *I*4/m (87) alors que celui isoformulaire Nb₉VO₂₅ (forme α) est non centrosymétrique, groupe d'espace $\bar{I}\bar{4}$ (82) (Casais *et al.*, 1993). Une différence nette dans la charpente a été observée. En effet, pour notre composé les tétraèdres se lient par partage d'arêtes, mais pour celui non-centrosymétrique les tétraèdres ne sont pas liés entre eux (Fig. 5). Un examen bibliographique nous a conduit à la famille des oxydes suivants: VOSO₄ (Longo & Arnott, 1970) (forme α) VOPO₄ (Tachez *et al.*, 1981) SbOPO₄ (Piffard *et al.*, 1986) et NbOPO₄ (Amos *et al.*, 1998). Ces derniers présentent une différence nette en mode de connection entre les octaèdres et les tétraèdres. En effet, dans les oxydes SbOPO₄, NbOPO₄ et VOSO₄ les chaînes octaédriques MO₅ (*M*=Sb, Nb, V) se connectent au moyen de sommets avec les tétraèdres XO₄ (P, S) pour conduire à une charpente oxygénée

tridimensionnelle (Fig. 6) différente à celle rencontrée dans l'oxyde obtenu $\text{Nb}_9\text{VO}_{25}$.

S2. Experimental

Les cristaux de $\text{Nb}_9\text{VO}_{25}$ ont été obtenus par réaction à l'état solide à partir des réactifs suivants: Nb_2O_5 (FLUKA, 72520), V_2O_5 (ACROS ORGANICS, A018448201) et Na_2CO_3 (PROLABO, 27778) pris dans les proportions $\text{Na}:\text{Nb}:\text{V}=3:6:1$. Le mélange, finement broyé, a été mis dans un creuset en porcelaine, placé dans un four puis préchauffé à l'air à 623 K pendant 24 heures en vue d'éliminer les composés volatils: NH_3 et CO_2 . Il est ensuite porté à une température proche de sa fusion, 1198 K. Le mélange est maintenu à cette température pendant une semaine pour favoriser la germination et la croissance des cristaux puis il subit en premier lieu un refroidissement lent (5°/jour) jusqu'à 1098 K puis un second rapide (50°/h) jusqu'à la température ambiante. Des cristaux de couleur jaune sous forme de baguettes ont été isolés à l'aide d'une loupe binoculaire.

S3. Refinement

L'analyse de la carte de Fourier différence finale ne révèle aucun pic résiduel significatif. Par ailleurs les ellipsoïdes sont très bien définis. Les densités d'électrons maximum et minimum restants dans la Fourier-différence sont situées respectivement à 0.36 Å de Nb1 et à 1.24 Å de O5. Il en résulte la composition chimique finale, $\text{Nb}_9\text{VO}_{25}$ du matériau obtenu.

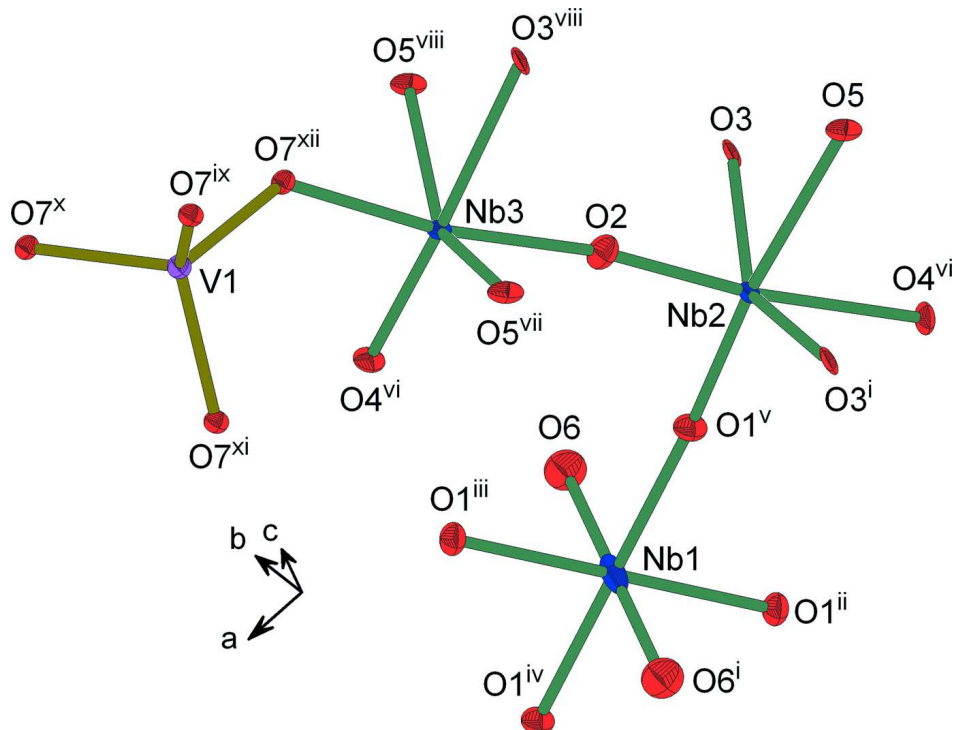


Figure 1

Unité asymétrique dans $\text{Nb}_9\text{VO}_{25}$. Les ellipsoïdes ont été définis avec 50% de probabilité. [Code de symétrie: (i) $x, y, z - 1$; (ii) $-y, x - 1, z$; (iii) $y, -x + 1, -z$; (iv) $x - 1, -y + 1/2, -z - 1/2$; (v) $-x + 1, -y, -z$; (vi) $y + 1, -x + 1, -z$; (vii) $-x + 3/2, -y, -z$; (viii) $-x + 3/2, -y + 1/2, -z + 1/2$; (ix) $-x + 1, -y + 1, -z + 1$; (x) $-y + 1/2, x - 1/2, z + 1/2$; (xi) $y - 1/2, -x + 3/2, -z + 1/2$; (xii) $x - 1, y, z + 1$].

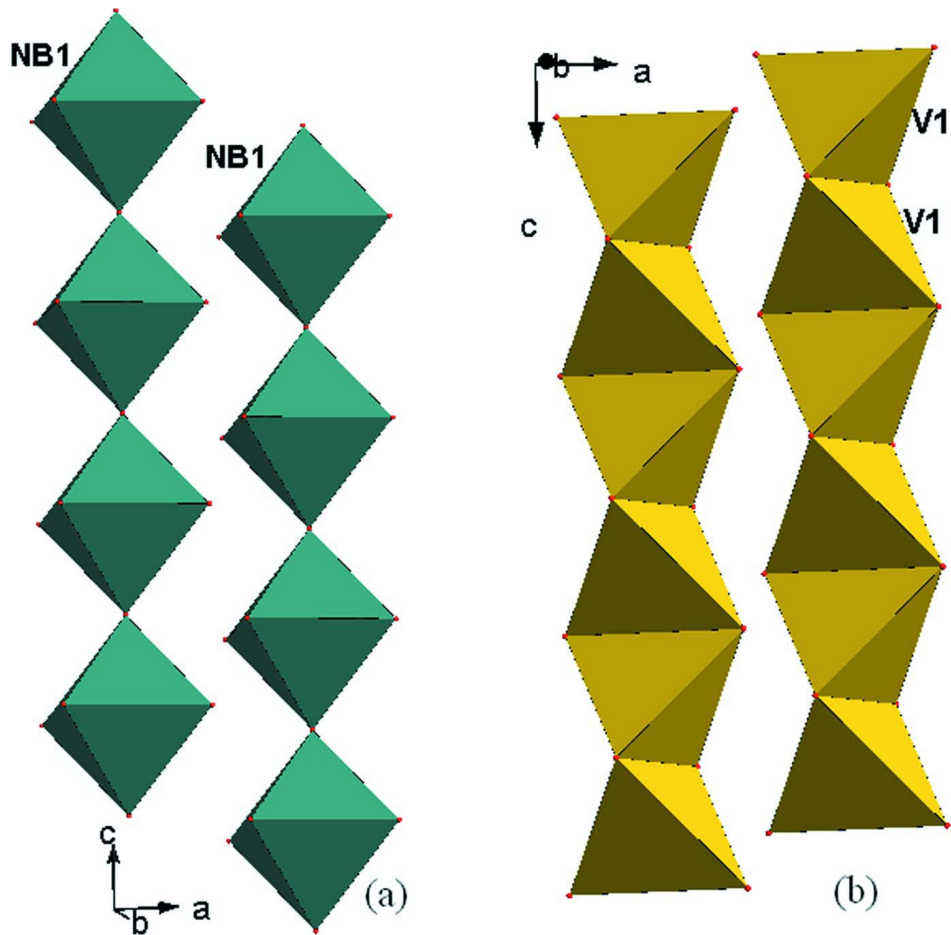


Figure 2

Représentation: (a) des chaînes octaédriques Nb_1O_5 , (b) des chaînes tétraédriques VO_2 .

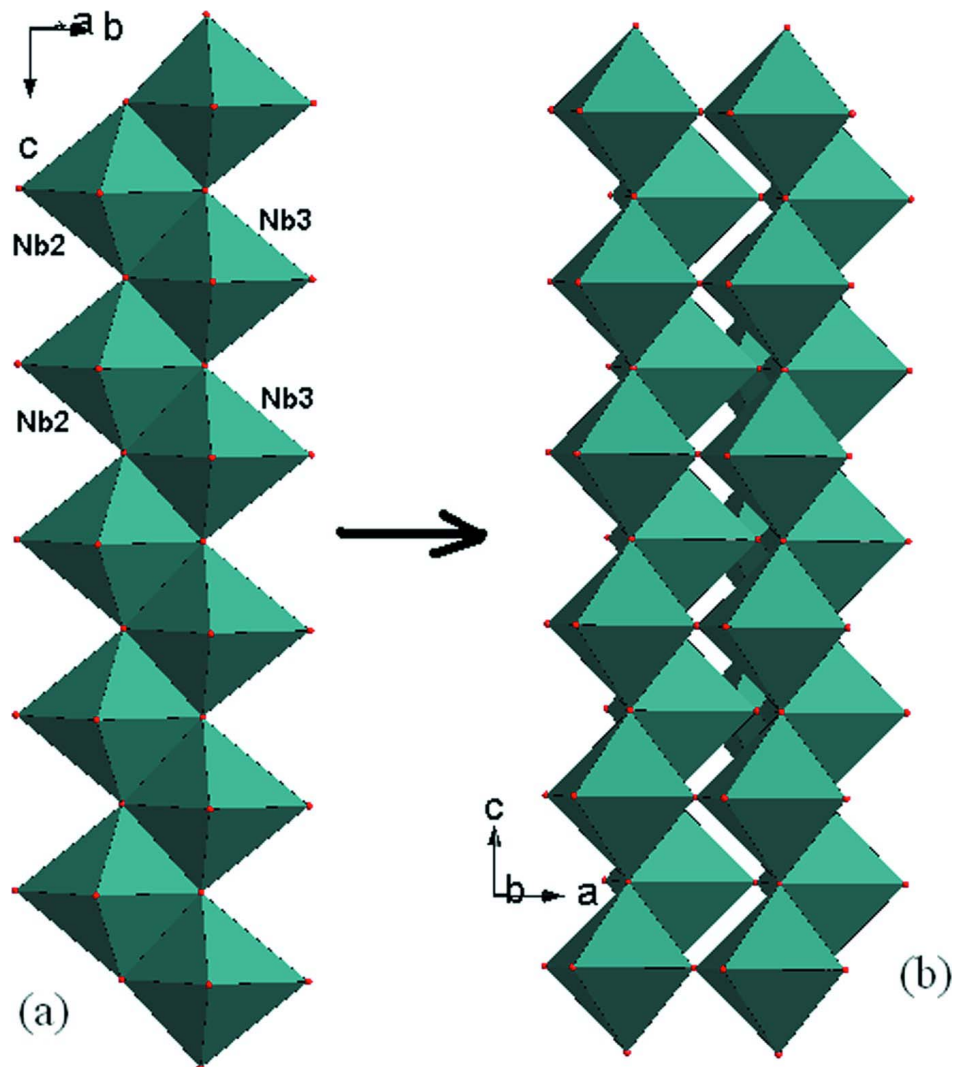


Figure 3

Représentation: (a) des chaînes doubles, (b) des rubans.

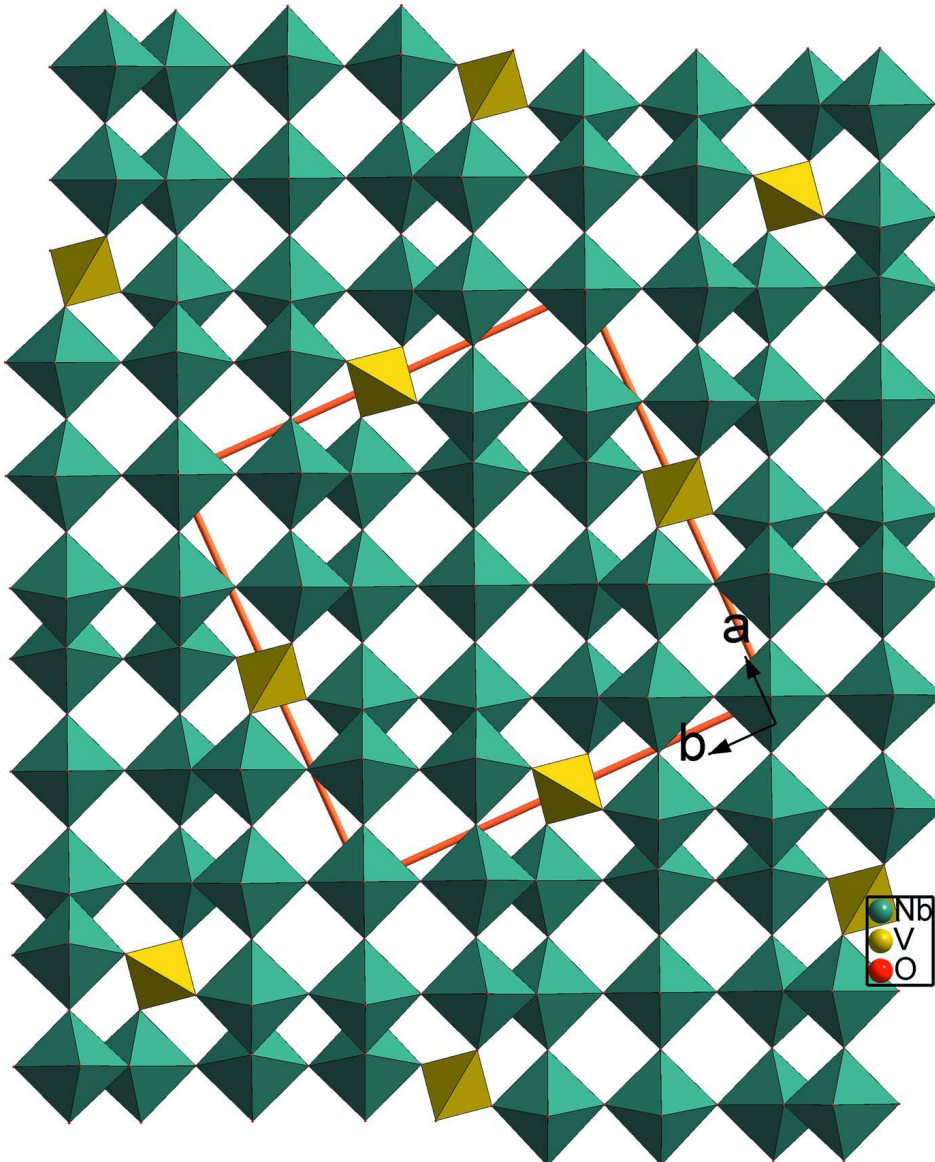


Figure 4

Projection de la structure de β -Nb₉VO₂₅ selon [001].

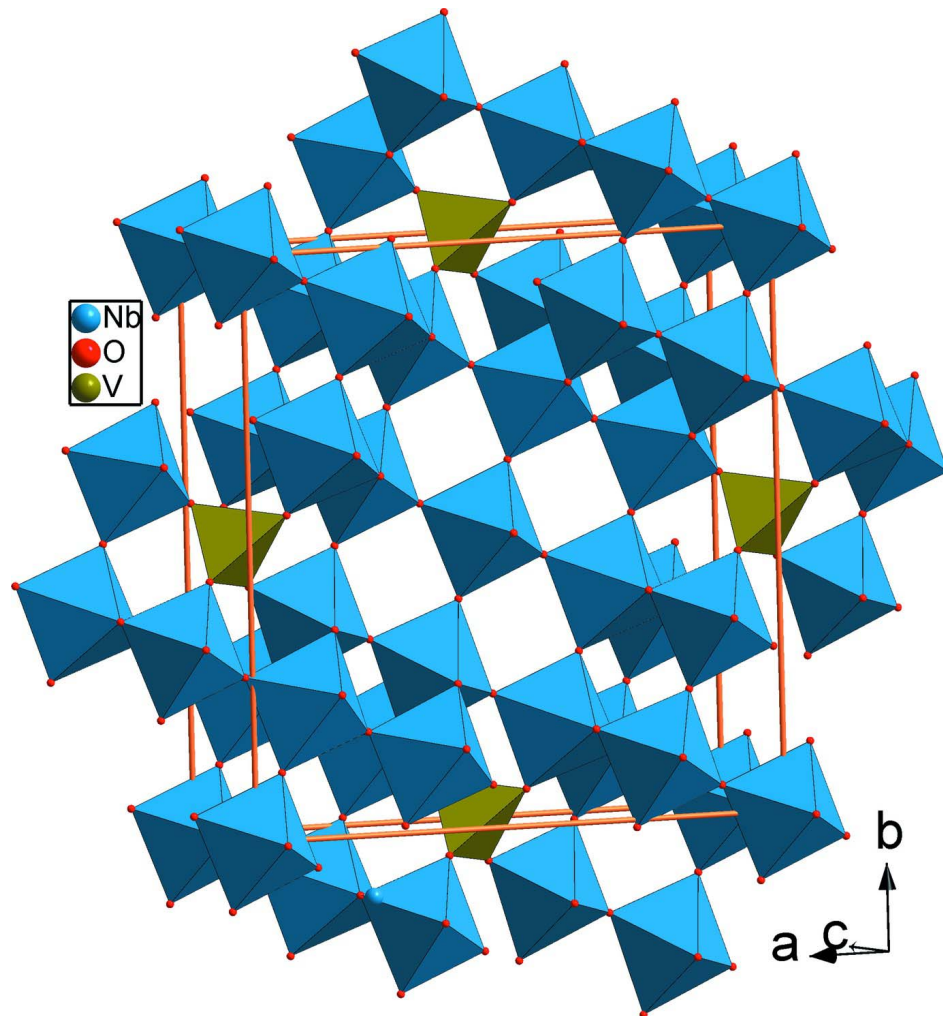
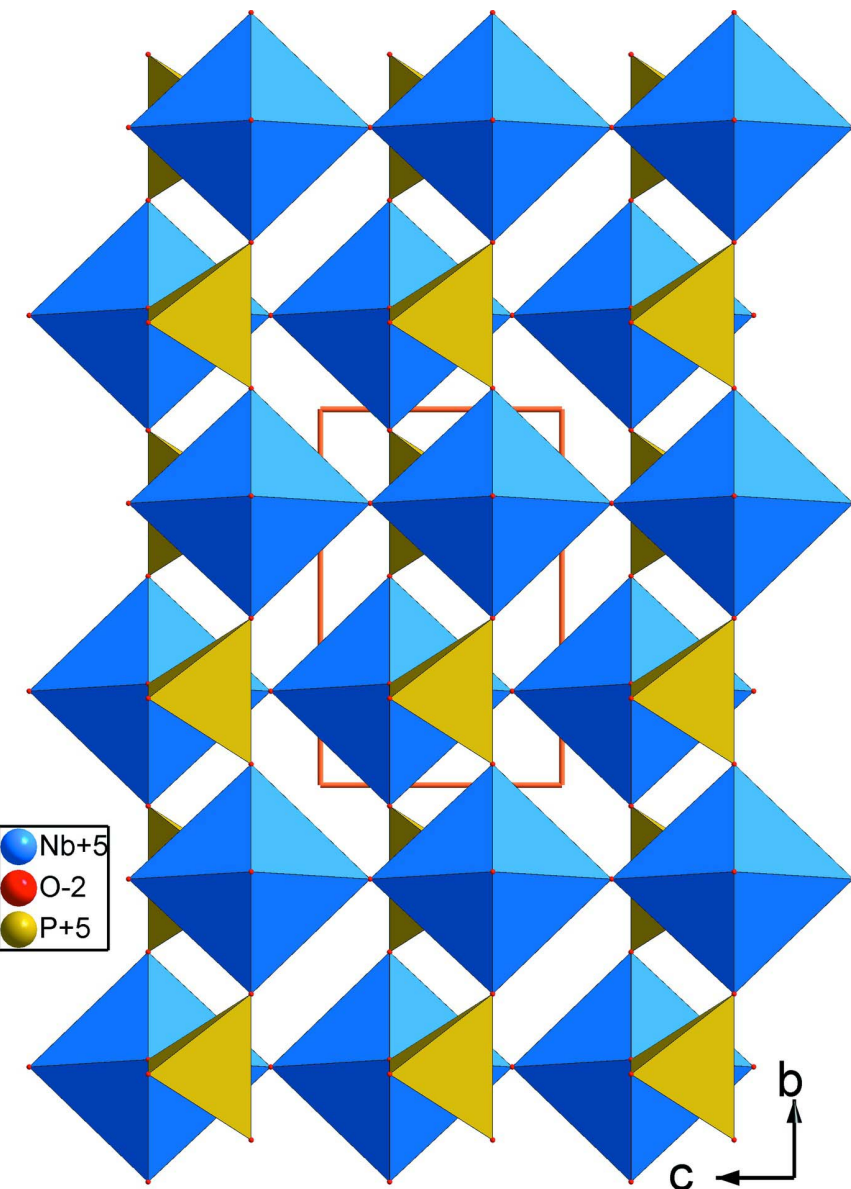


Figure 5

Vue en perspective de la structure de α -Nb₉VO₂₅ (Casais *et al.*, 1993) montrant la jonction des polyèdres.

**Figure 6**

Projection, selon [100], de la structure de NbOPO_4 (Amos *et al.*, 1998) montrant la disposition des polyèdres.

Nonaniobium vanadium pentacosaoxide

Crystal data

$\text{Nb}_9\text{VO}_{25}$
 $M_r = 1287.13$
Tetragonal, $I4/m$
Hall symbol: -I 4
 $a = 15.7726 (9)$ Å
 $c = 3.8399 (6)$ Å
 $V = 955.27 (17)$ Å³
 $Z = 2$
 $F(000) = 1184$

$D_x = 4.475$ Mg m⁻³
Mo $K\alpha$ radiation, $\lambda = 0.71073$ Å
Cell parameters from 25 reflections
 $\theta = 11\text{--}15^\circ$
 $\mu = 5.78$ mm⁻¹
 $T = 298$ K
Prism, yellow
 $0.14 \times 0.05 \times 0.04$ mm

Data collection

Enraf–Nonius CAD-4
diffractometer
Radiation source: fine-focus sealed tube
Graphite monochromator
 $\omega/2\theta$ scans
Absorption correction: ψ scan
(North *et al.*, 1968)
 $T_{\min} = 0.695$, $T_{\max} = 0.812$
851 measured reflections

593 independent reflections
363 reflections with $I > 2\sigma(I)$
 $R_{\text{int}} = 0.044$
 $\theta_{\max} = 26.9^\circ$, $\theta_{\min} = 2.6^\circ$
 $h = -20 \rightarrow 1$
 $k = -20 \rightarrow 1$
 $l = -4 \rightarrow 1$
2 standard reflections every 120 min
intensity decay: 1.1%

Refinement

Refinement on F^2
Least-squares matrix: full
 $R[F^2 > 2\sigma(F^2)] = 0.034$
 $wR(F^2) = 0.086$
 $S = 0.99$
593 reflections
56 parameters
0 restraints
Primary atom site location: structure-invariant
direct methods

Secondary atom site location: difference Fourier
map
 $w = 1/[\sigma^2(F_o^2) + (0.0234P)^2]$
where $P = (F_o^2 + 2F_c^2)/3$
 $(\Delta/\sigma)_{\max} < 0.001$
 $\Delta\rho_{\max} = 1.15 \text{ e } \text{\AA}^{-3}$
 $\Delta\rho_{\min} = -1.52 \text{ e } \text{\AA}^{-3}$
Extinction correction: *SHELXL97* (Sheldrick,
2008), $F_c^* = kFc[1 + 0.001xFc^2\lambda^3/\sin(2\theta)]^{-1/4}$
Extinction coefficient: 0.0050 (3)

Special details

Experimental. Le cristal étant de faible taille, la correction d'absorption par psi-scan n'a pas amélioré le résultat de l'affinement.

Geometry. All e.s.d.'s (except the e.s.d. in the dihedral angle between two l.s. planes) are estimated using the full covariance matrix. The cell e.s.d.'s are taken into account individually in the estimation of e.s.d.'s in distances, angles and torsion angles; correlations between e.s.d.'s in cell parameters are only used when they are defined by crystal symmetry. An approximate (isotropic) treatment of cell e.s.d.'s is used for estimating e.s.d.'s involving l.s. planes.

Refinement. Refinement of F^2 against ALL reflections. The weighted R -factor wR and goodness of fit S are based on F^2 , conventional R -factors R are based on F , with F set to zero for negative F^2 . The threshold expression of $F^2 > \sigma(F^2)$ is used only for calculating R -factors(gt) etc. and is not relevant to the choice of reflections for refinement. R -factors based on F^2 are statistically about twice as large as those based on F , and R -factors based on ALL data will be even larger.

Fractional atomic coordinates and isotropic or equivalent isotropic displacement parameters (\AA^2)

	<i>x</i>	<i>y</i>	<i>z</i>	$U_{\text{iso}}^*/U_{\text{eq}}$	Occ. (<1)
Nb1	0.0000	0.0000	0.0000	0.0195 (7)	
Nb2	0.78149 (7)	0.10593 (7)	0.0000	0.0058 (4)	
Nb3	0.88301 (6)	0.32601 (6)	0.0000	0.0057 (3)	
V1	0.0000	0.5000	0.7500	0.0071 (12)	0.50
O1	0.8838 (5)	0.0515 (5)	0.0000	0.012 (2)	
O2	0.8233 (5)	0.2169 (5)	0.0000	0.013 (2)	
O3	0.7479 (5)	0.1109 (5)	0.5000	0.0084 (19)	
O4	0.7185 (5)	-0.0125 (5)	0.0000	0.0106 (19)	
O5	0.6482 (5)	0.1572 (5)	0.0000	0.010 (2)	
O6	0.0000	0.0000	0.5000	0.020 (5)	
O7	0.9251 (5)	0.4473 (5)	0.0000	0.0069 (18)	

Atomic displacement parameters (\AA^2)

	U^{11}	U^{22}	U^{33}	U^{12}	U^{13}	U^{23}
Nb1	0.0071 (8)	0.0071 (8)	0.044 (2)	0.000	0.000	0.000
Nb2	0.0044 (5)	0.0083 (6)	0.0048 (7)	-0.0002 (4)	0.000	0.000
Nb3	0.0058 (6)	0.0068 (6)	0.0045 (6)	0.0015 (5)	0.000	0.000
V1	0.0072 (17)	0.0072 (17)	0.007 (3)	0.000	0.000	0.000
O1	0.010 (4)	0.012 (4)	0.012 (5)	0.003 (3)	0.000	0.000
O2	0.018 (4)	0.010 (4)	0.012 (5)	-0.002 (4)	0.000	0.000
O3	0.003 (4)	0.011 (4)	0.012 (5)	-0.003 (4)	0.000	0.000
O4	0.009 (4)	0.007 (4)	0.015 (5)	-0.004 (4)	0.000	0.000
O5	0.010 (4)	0.015 (5)	0.004 (5)	0.005 (4)	0.000	0.000
O6	0.023 (7)	0.023 (7)	0.016 (11)	0.000	0.000	0.000
O7	0.008 (4)	0.007 (4)	0.006 (4)	0.000 (3)	0.000	0.000

Geometric parameters (\AA , ^\circ)

Nb1—O6 ⁱ	1.9200 (3)	Nb3—O7	2.025 (7)
Nb1—O6	1.9200 (3)	Nb3—O3 ^{viii}	2.292 (8)
Nb1—O1 ⁱⁱ	2.005 (8)	V1—O7 ^{ix}	1.735 (6)
Nb1—O1 ⁱⁱⁱ	2.005 (8)	V1—O7 ^x	1.735 (6)
Nb1—O1 ^{iv}	2.005 (8)	V1—O7 ^{xi}	1.735 (6)
Nb1—O1 ^v	2.005 (8)	V1—O7 ^{xii}	1.735 (6)
Nb2—O1	1.827 (8)	O1—Nb1 ^{xiii}	2.005 (8)
Nb2—O2	1.870 (8)	O3—Nb2 ^{xiv}	1.993 (2)
Nb2—O3 ⁱ	1.993 (2)	O3—Nb3 ^{viii}	2.292 (8)
Nb2—O3	1.993 (2)	O4—Nb3 ^{xv}	1.792 (7)
Nb2—O4	2.115 (7)	O5—Nb3 ^{vii}	1.999 (2)
Nb2—O5	2.253 (8)	O5—Nb3 ^{viii}	1.999 (2)
Nb3—O4 ^{vi}	1.792 (7)	O6—Nb1 ^{xiv}	1.9200 (3)
Nb3—O2	1.962 (8)	O7—V1 ^{ix}	1.735 (6)
Nb3—O5 ^{vii}	1.999 (2)	O7—V1 ^{xvi}	1.735 (6)
Nb3—O5 ^{viii}	1.999 (2)		
O6 ⁱ —Nb1—O6	180.0	O2—Nb3—O7	170.5 (3)
O6 ⁱ —Nb1—O1 ⁱⁱ	90.0	O5 ^{vii} —Nb3—O7	87.5 (2)
O6—Nb1—O1 ⁱⁱ	90.0	O5 ^{viii} —Nb3—O7	87.5 (2)
O6 ⁱ —Nb1—O1 ⁱⁱⁱ	90.0	O4 ^{vi} —Nb3—O3 ^{viii}	177.3 (3)
O6—Nb1—O1 ⁱⁱⁱ	90.0	O2—Nb3—O3 ^{viii}	87.1 (3)
O1 ⁱⁱ —Nb1—O1 ⁱⁱⁱ	180.0 (5)	O5 ^{vii} —Nb3—O3 ^{viii}	73.8 (2)
O6 ⁱ —Nb1—O1 ^{iv}	90.0	O5 ^{viii} —Nb3—O3 ^{viii}	73.8 (2)
O6—Nb1—O1 ^{iv}	90.0	O7—Nb3—O3 ^{viii}	83.4 (3)
O1 ⁱⁱ —Nb1—O1 ^{iv}	90.0	O7 ^{ix} —V1—O7 ^x	107.83 (13)
O1 ⁱⁱⁱ —Nb1—O1 ^{iv}	90.0	O7 ^{ix} —V1—O7 ^{xi}	107.83 (13)
O6 ⁱ —Nb1—O1 ^v	90.0	O7 ^x —V1—O7 ^{xi}	112.8 (3)
O6—Nb1—O1 ^v	90.0	O7 ^{ix} —V1—O7 ^{xii}	112.8 (3)
O1 ⁱⁱ —Nb1—O1 ^v	90.0	O7 ^x —V1—O7 ^{xii}	107.83 (13)
O1 ⁱⁱⁱ —Nb1—O1 ^v	90.0	O7 ^{xi} —V1—O7 ^{xii}	107.83 (13)

O1 ^{iv} —Nb1—O1 ^v	180.0	O7 ^{ix} —V1—V1 ^{xvii}	123.60 (13)
O1—Nb2—O2	97.3 (3)	O7 ^x —V1—V1 ^{xvii}	56.40 (13)
O1—Nb2—O3 ⁱ	104.7 (2)	O7 ^{xi} —V1—V1 ^{xvii}	56.40 (13)
O2—Nb2—O3 ⁱ	93.3 (2)	O7 ^{xii} —V1—V1 ^{xvii}	123.60 (13)
O1—Nb2—O3	104.7 (2)	O7 ^{ix} —V1—V1 ^{xviii}	56.40 (13)
O2—Nb2—O3	93.3 (2)	O7 ^x —V1—V1 ^{xviii}	123.60 (13)
O3 ⁱ —Nb2—O3	148.8 (4)	O7 ^{xi} —V1—V1 ^{xviii}	123.60 (13)
O1—Nb2—O4	90.0 (3)	O7 ^{xii} —V1—V1 ^{xviii}	56.40 (13)
O2—Nb2—O4	172.7 (3)	V1 ^{xvii} —V1—V1 ^{xviii}	180.0
O3 ⁱ —Nb2—O4	84.8 (2)	Nb2—O1—Nb1 ^{xiii}	175.9 (5)
O3—Nb2—O4	84.8 (2)	Nb2—O2—Nb3	172.0 (5)
O1—Nb2—O5	173.0 (3)	Nb2 ^{xiv} —O3—Nb2	148.8 (4)
O2—Nb2—O5	89.6 (3)	Nb2 ^{xiv} —O3—Nb3 ^{viii}	104.9 (2)
O3 ⁱ —Nb2—O5	74.8 (2)	Nb2—O3—Nb3 ^{viii}	104.9 (2)
O3—Nb2—O5	74.8 (2)	Nb3 ^{xv} —O4—Nb2	175.1 (5)
O4—Nb2—O5	83.1 (3)	Nb3 ^{vii} —O5—Nb3 ^{viii}	147.6 (4)
O4 ^{vi} —Nb3—O2	95.6 (3)	Nb3 ^{vii} —O5—Nb2	106.1 (2)
O4 ^{vi} —Nb3—O5 ^{vii}	106.1 (2)	Nb3 ^{viii} —O5—Nb2	106.1 (2)
O2—Nb3—O5 ^{vii}	89.9 (2)	Nb1 ^{xiv} —O6—Nb1	180.0
O4 ^{vi} —Nb3—O5 ^{viii}	106.1 (2)	V1 ^{ix} —O7—V1 ^{xvi}	67.2 (3)
O2—Nb3—O5 ^{viii}	89.9 (2)	V1 ^{ix} —O7—Nb3	132.5 (3)
O5 ^{vii} —Nb3—O5 ^{viii}	147.6 (4)	V1 ^{xvi} —O7—Nb3	132.5 (3)
O4 ^{vi} —Nb3—O7	94.0 (3)		

Symmetry codes: (i) $x, y, z-1$; (ii) $-y, x-1, z$; (iii) $y, -x+1, -z$; (iv) $x-1, y, z$; (v) $-x+1, -y, -z$; (vi) $y+1, -x+1, -z$; (vii) $-x+3/2, -y+1/2, -z-1/2$; (viii) $-x+3/2, -y+1/2, -z+1/2$; (ix) $-x+1, -y+1, -z+1$; (x) $-y+1/2, x-1/2, z+1/2$; (xi) $y-1/2, -x+3/2, -z+1/2$; (xii) $x-1, y, z+1$; (xiii) $x+1, y, z$; (xiv) $x, y, z+1$; (xv) $-y+1, x-1, z$; (xvi) $x+1, y, z-1$; (xvii) $-x, -y+1, -z+1$; (xviii) $-x, -y+1, -z+2$.